



CAPÍTULO 4. EXCAVACIONES ARQUEOLÓGICAS EN EL FOSO 2.

Laura Milesi García

José Suárez Padilla

Claudia Costa

Tamara Santiago Burgess

CAPÍTULO 4. EXCAVACIONES ARQUEOLÓGICAS EN EL FOSO 2

La excavación del Foso 2 era esencial para conseguir los objetivos generales de nuestro proyecto (*Cap.1.3*)¹. Nos interesaba determinar la secuencia interna de su relleno y, sobre todo, tras conocer la cronología del vecino Foso 1, confirmar si la proximidad y el paralelismo de sus trazados podían apuntar a una obra conjunta o hermanada. La idea inicial de que nos encontrábamos ante dos estructuras contemporáneas se fundamentaba, no sólo en el citado paralelismo de ambos fosos, sino también en que compartían, a lo largo de su perímetro, hasta cinco discontinuidades coincidentes, a modo de puertas.

Por tal motivo, dedicamos las campañas de 2015 y 2016 a abordar la excavación de esta gran estructura. Así, cuando esta empresa se abordó ya llevábamos ocho años en el yacimiento, y nuestro conocimiento de las dinámicas de relleno de estas estructuras en Perdigões permitía abordar estos sondeos arqueológicos con mayor experiencia y nuevas estrategias. Ejemplo de ello fue la incorporación del análisis de muestras sedimentológicas que permitieron una lectura microestratigráfica mucho más precisa de los episodios deposicionales que se sucedieron en su relleno, o la ampliación de estudio del registro de fauna.

Así pues, en la campaña de 2015, y tras plantear un corte de 6 m por 3 m, se iniciaron las primeras actuaciones que se limitaron a eliminar las potentes intrusiones contemporáneas resultado de las huellas de arado y a documentar los últimos rellenos de colmatación de la estructura. En estos últimos, se hallaron varias fosas, una de ellas (f106) colmatada con una gran losa granítica. Sería, por el contrario, en la campaña de 2016² cuando se alcanzarían los niveles

más profundos y pudimos caracterizar, no sin algunas sorpresas, la morfología final de Foso 2.

4.1. MORFOLOGÍA Y SECUENCIA ESTRATIGRÁFICA DE FOSO 2

El Foso 2 es una gran estructura que configura uno de los mayores recintos de Perdigões (*Milesi García et al. 2019*). En planta, tiene aspecto de gran circunferencia, con un diámetro de unos 430 m y un perímetro aproximado de 1380 m, y presenta, como indicamos antes, varios puntos de acceso compartidos con Foso 1. Está excavado mayoritariamente en el sustrato geológico y presenta perfil con tendencia en "V" con un remate amplio y redondeado. La anchura máxima del foso, en este sector, es de 4'60 m, y su profundidad máxima de 2'09 m (*Fig.1*).

Durante los trabajos de excavación, muy pronto, se pudo constatar que Foso 2 cortaba a otra estructura previa, no advertida en planta, que denominamos zanja s14 y que será abordada en otro capítulo (*ver Cap.6.2*).

La estratigrafía de Foso 2 (interficie UE153.1), se caracterizaba, en términos generales, por la alternancia de episodios antrópicos con otros naturales (*ANEXO*). Esta contingencia nos ha permitido distinguir hasta tres posibles dinámicas diferentes en su colmatación (*Figs. 2, 3, 4 y 5*).

La primera de ellas corresponde a las unidades estratigráficas más profundas del relleno. Se trata de depósitos resultado de vertidos alternantes realizados, posiblemente, desde los extremos exteriores del foso, que generaron un encabalgamiento de estratos (UEs: 608, 606, 607, 602, 603, 591, 598).

Intercalados entre algunos de estos depósitos iniciales se formaron finas capas de color blanquecino y con una matriz semejante al geológico en el que está construido el foso (UEs: 600, 599 y 589). Tienen una potencia entre 2 y 7 cm, son estériles y corresponden a episodios de aportes coluviales.

¹ Los resultados de la investigación recogidos en este capítulo se realizaron en el marco de los siguientes proyectos HUM-4214; HAR2010-21610 y HAR2014-53692-P.

² En la campaña de 2016 contamos con el apoyo de Francisco Melero, Antonio Oliver y Rodrigo Álvarez, técnicos de la empresa Aratipsi S.L.

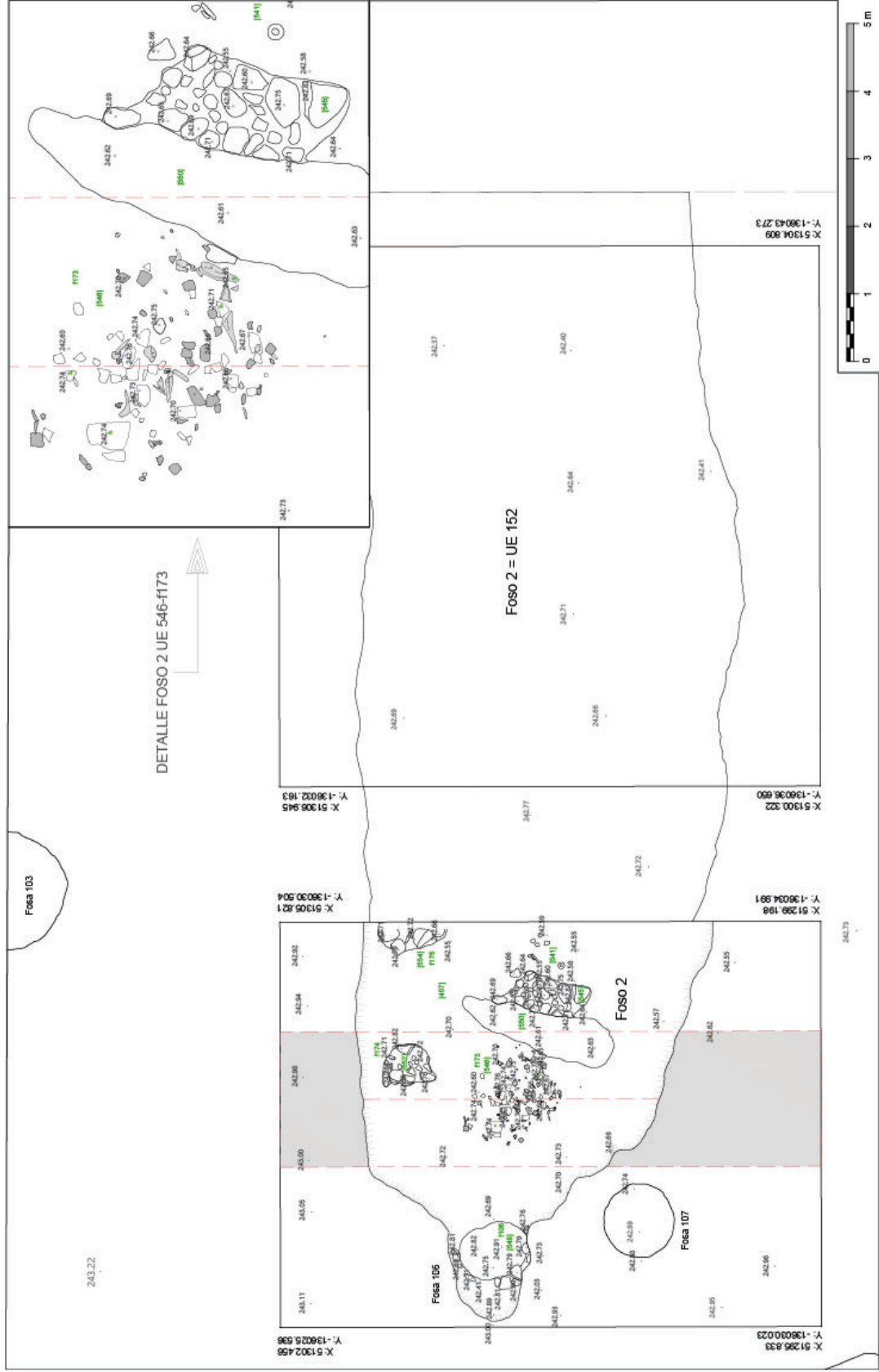


Figura 1. Planta general Campañas 2015 y 2016). Con detalle de las últimas actuaciones prehistóricas

Zanja s14

Foso F2

Actividades post-foso

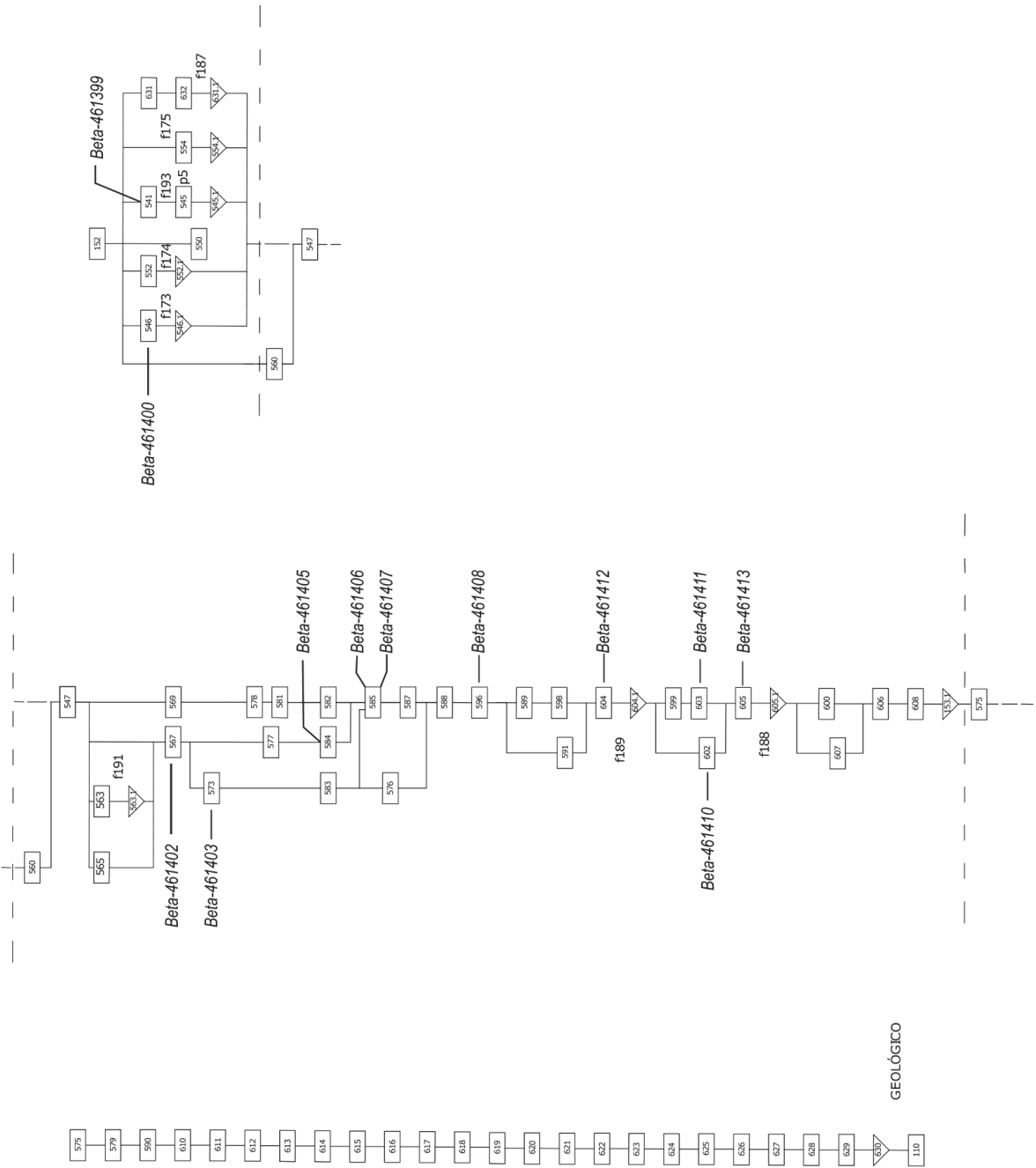


Figura 2. Diagrama estratigráfico de Foso 2 (con la zanja s14 y estructuras post-foso) y referencia a las dataciones realizadas



Figura 3. Imagen fotogramétrica de la sección de Foso 2 (incluyendo zanjas 14)

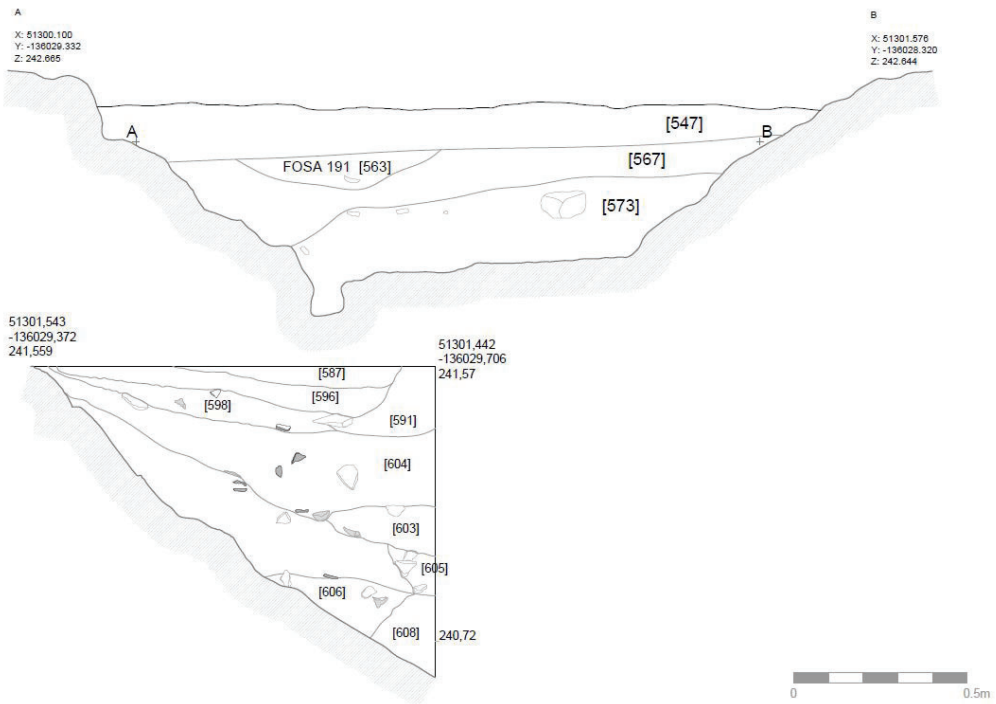
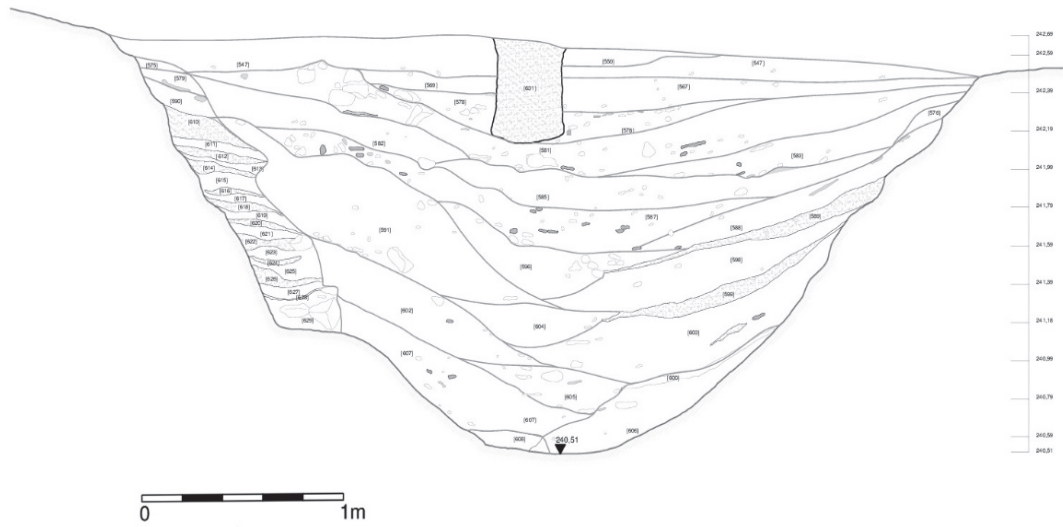


Figura 4. Secciones de Foso 2

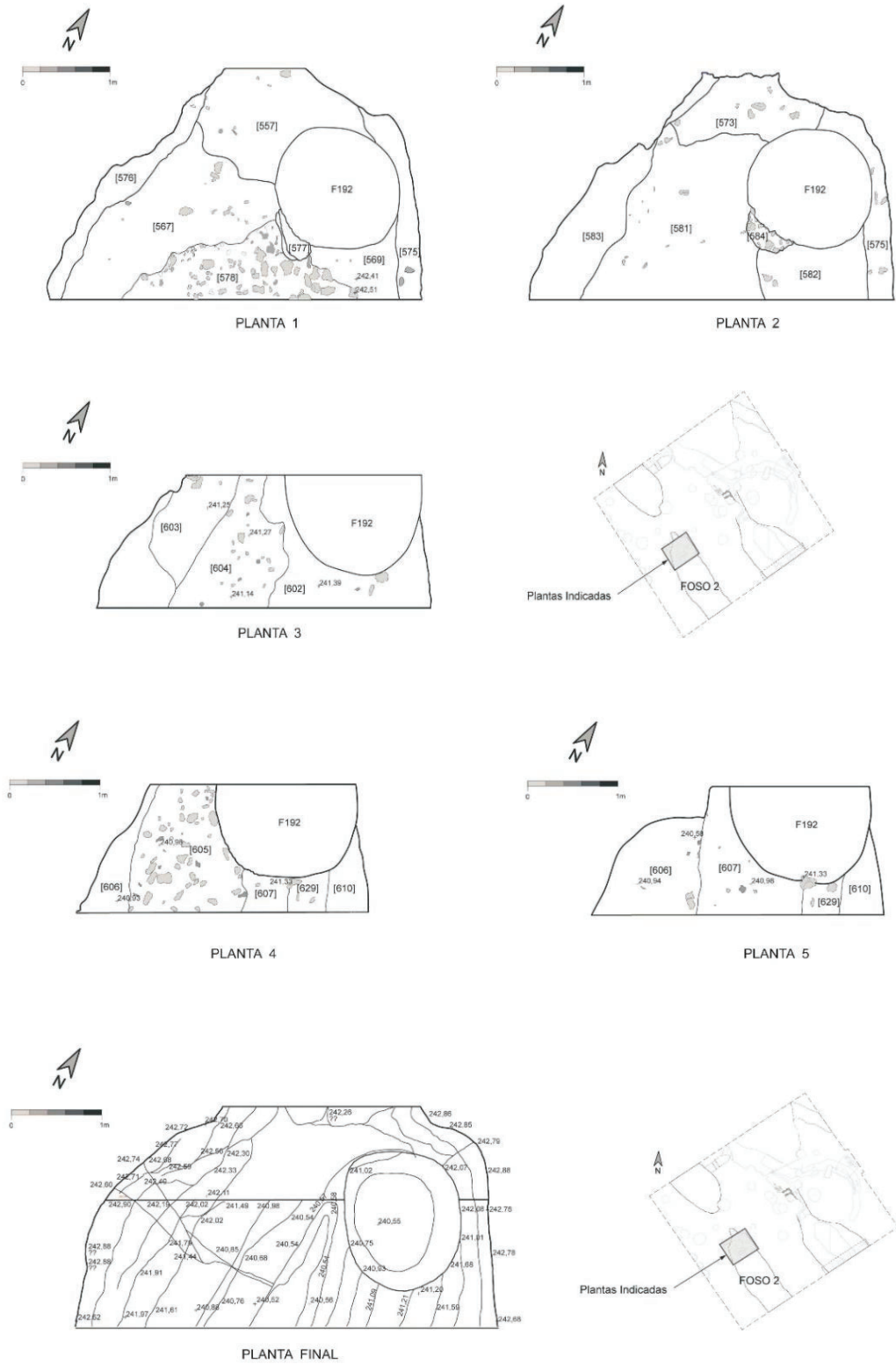


Figura 5. Plantas excavación del Foso 2

Su buzamiento permite pensar que habrían caído desde el borde interior del recinto. De acuerdo con sus características, podrían manifestar indirectamente la presencia original de un terraplén (*bank*), resultante de la excavación original del Foso 2.

Sobre estos depósitos descritos, se practicaron las fosas f188 y f189, con interfaces UEs 605.1 y 604.1, respectivamente. Se disponen alineadas con el eje de la base del foso. Sus rellenos destacan por presentar una mayor cantidad de materiales arqueológicos (UEs 605 y 604).

Por encima de esta primera dinámica de relleno se dispone la UE 596, que de acuerdo a los estudios microestratigráficos, corresponde a un período de abandono. A partir de ella, en el tercio superior del relleno, podemos identificar una dinámica bien distinta. Los depósitos generados presentan una acusada tendencia a la horizontalidad, y menor potencia (UEs: 588, 587, 585, 584, 583, 582, 581, 578, 577, 576, 573, 569, 567, 565, 560, 547).

Además, y comparativamente con la dinámica previa, lo estratos de la parte superior cuentan con una mayor presencia de restos líticos, cerámicos y faunísticos. De igual modo es en los niveles de la parte superior del relleno donde se localizaron la mayoría de los restos de actividad metalúrgica. Sobre el nivel más alto aparece también intercalada una pequeña fosa (f191), con interfase UE563.1 y escaso componente artefactual (UE563).

Cuando el foso está totalmente colmatado, se observan evidencias de actuaciones menores, aunque prehistóricas, sobre sus rellenos. Se trata de varias fosas (f173, f174 y f175), una de ellas (f187) que pudo servir de base a un elemento vertical (poste o un pequeño menhir). Otra (f193) contenía un retazo de muro, denominado p5 (UE545), que forraba la pared de la propia interfase de la fosa (UE545.1). En el espacio interior delimitado por esta unidad constructiva se documentó un depósito con un cuenco en buen estado de conservación (UE541).

Todas estas estructuras, aunque se han incluido en el diagrama estratigráfico (*Fig.2*) y en la tabla de UEs (*ANEXO*), se han segregado del relleno de Foso 2, y se abordan, para su estudio, de forma independiente en los capítulos 6 y 7. La estratigrafía se completa con la afección producida por una fosa moderna f192, (siglos XV-XVI d.C.) y numerosas marcas de arado (UEs 517.1, 519.1, 521.1, 523.1, 525.1), que generan un nivel revuelto sobre Foso 2 (UE153), con abundante material arqueológico³.

4.1.1 Análisis microestratigráfico

La experiencia acumulada durante las primeras campañas nos advirtió de las limitaciones que la metodología tradicional tenía a la hora de estudiar los complejos rellenos de los fosos prehistóricos. Tal y como se ha comentado con anterioridad (*ver cap. 1.3*) la metodología no es un fin en sí misma y debe adaptarse a los objetivos específicos que queremos alcanzar. Así comprobamos que la simple identificación de UEs en el relleno de un foso no era suficiente para caracterizar las complejísticas dinámicas de relleno de estas estructuras. Las mismas dificultades que hallamos a la hora de fechar estos depósitos con sistemas de datación tradicional (*ver cap.7.5*) las encontramos con la simple individualización macroscópica de los niveles de relleno. La sutileza de estas actuaciones antrópicas, la variedad de elementos depositados y la cambiante velocidad con la que se realizaron, escapan a las posibilidades de identificación de una excavación tradicional.

A modo experimental, se decidió completar la lectura estratigráfica con un pionero análisis microestratigráfico⁴ (*ver cap.2.3.3*).

³ Los estratos correspondientes al periodo moderno y contemporáneo no se incluyen en el diagrama estratigráfico.

⁴ El análisis microestratigráfico se desarrolló en el contexto de nuestro proyecto HAR2014-53692-P y se presentaron los primeros resultados en la tesis doctoral MILESI GARCÍA, L. B. (2018) *Lugares de agregación en la Prehistoria desde una perspectiva etnográfica: los recintos de fosos como caso de estudio*. Granada: Universidad de Granada y contó con la colaboración y asesoramiento de los Dres. Mario Gutiérrez (Universidad de Jaén), Carlos Duarte (Universidad de Almería) y Paul Golberg (Universidad de Boston).

Esta tarea nos confirmó que el relleno del Foso 2 presenta depósitos antropogénicos y naturales, estos últimos correspondientes a procesos coluviales.

Por una parte, en los primeros estratos del relleno del foso, los depósitos naturales (UEs 600, 599, 589, 576) se concentran en la pared interior del foso. Una explicación plausible para su localización sería la existencia de un terraplén en ese lado del foso. Éste habría sufrido procesos erosivos generando este tipo de depósitos, especialmente en períodos de lluvia. Con respecto a estos depósitos, cabe destacar que las muestras analizadas han señalado que los sedimentos no estaban mezclados con materia orgánica ni restos de consumo humano antes de caer al foso. Esto podría indicar que, en estas acumulaciones de sedimentos, compuestos por la roca sobre la que se construye el foso (granodiorita), no crecerían plantas ni se depositarían otros restos de actividades humanas. La UE 608 también se compone sólo de arena de granodiorita y su origen y localización se explican a partir de la propia construcción del foso.

Por otra parte, los estratos identificados como antropogénicos (UEs 591, 598, 604, 605, 603, 602, 607, 606), presentan heterogeneidad en el tipo de contenidos. Existen restos asociados a consumo de alimentos, talla de sílex, producción cerámica e incluso, restos asociados a episodios de tala y quema de vegetación arbustiva.

A su vez, este análisis permitió comprender la existencia de cambios en los tiempos de formación de los sedimentos.

En este sentido, los procesos de formación se pueden identificar como de "*long term formation*" o "*short term formation*", de acuerdo con el "*tempo*" de formación de los mismos. Estos procesos se evidencian de acuerdo a los procesos postdeposicionales sufridos por los depósitos. El interés del conocimiento de la "*cadencia*" de su formación radica en la posibilidad de identificar aquellos aportes de formación rápida, como

ocurre con la UE603, compuesta sólo por cenizas que no experimentaron cambios postdeposicionales, o lenta, donde la bioturbación y la mayor exposición de los sedimentos a procesos posdeposicionales indican que su formación ha tenido una mayor duración (*Matthews et al. 1997; Shillito y Matthews 2013*).

De acuerdo con esto último, la perturbación de los sedimentos por las raíces y la fauna del suelo (bioturbación) fue generalizada y profunda en la mayoría de las muestras analizadas. Este hecho, junto con la presencia de ciertos minerales, apunta al crecimiento de vegetación ruderal en el interior del foso y a la ausencia de actividades de limpieza o mantenimiento del relleno del Foso 2.

Este análisis, también demostró la existencia de un momento (UE 596) sin prácticamente depósitos de origen humano, constituidos por episodios de escorrentía de agua, con depósitos de óxido de manganeso, alternados por momentos de menor humedad, mayor evaporación, crecimiento de plantas y precipitación de calcita.

Por último, como ya se observaba durante la excavación, en la mitad superior del relleno los depósitos cambian su distribución y presentan otros componentes. Por ejemplo, se observa una mayor cantidad de carbón o aparecen más evidencias de cerámica. Como elementos singulares se identificaron cáscaras de huevo de aves y caracoles, coprolitos de herbívoros y omnívoros, estos últimos detectados sólo en las UEs 569 y 547 de los momentos finales de relleno.

4.2. CULTURA MATERIAL DEL FOSO 2

4.2.1. Material cerámico

El estudio de los materiales cerámicos extraídos del relleno de Foso 2 se ha realizado, como en todas las otras estructuras del sector L1, clasificándose las piezas a partir de la tipología vascular descrita en su momento para el propio yacimiento (*ver Cap.2, Fig.13*) (*Valera 1998*).

Del total de piezas extraídas durante la excavación, 711 corresponden al relleno del foso y han sido identificadas tipológicamente (Tab.1). Entre ellas, nuevamente, destacan los bordes de recipientes fracturados, incompletos y con rotura antigua, elementos de sujeción y las pesas de telar (Fig.6). Sólo se ha localizado un recipiente completo: un vaso en miniatura (t.15) que procede de uno de los estratos de relleno más profundos.

La mayoría de las formas son abiertas y de grandes dimensiones (t.1 y t.2), correspondiéndose con platos pocos profundos o fuentes de borde engrosado (el t.1 en un 49.79% y el t.2 en un 25.04% del total). Le siguen en número los cuencos semiesféricos profundos (t.4, un 9.14%) y los recipientes cerrados de cuerpo esférico, de menor tamaño (t.5 en un 7,74%). Aparecen, pero en baja proporción, algunos fragmentos de tazas carenadas, cuencos de paredes rectas y base aplanada, recipientes globulares, vasos de cuerpo superior troncocónico, cuencos de carena media-baja y vasos de paredes rectas (t.3, t.6, t.7, t.8, y t.13.2), respectivamente.

De acuerdo con el número de fragmentos caracterizados en cada unidad estratigráfica, observamos que en los episodios de mayor concentración de materiales (líticos, cerámicos y faunísticos), es decir los correspondientes a los estratos superiores (UEs 547, 567, y 581), también existe una mayor variedad de formas que no se da en el resto de los estratos.

La pasta suele ser compacta en la mayoría de los casos, las superficies aparecen alisadas y raramente bruñidas, y presentan por lo general desgrasantes abundantes, con características petrológicas que a nivel macroscópico resultan compatibles con la geología local. Respecto a la cerámica decorada, está prácticamente ausente, contándose con sólo cinco fragmentos.

Finalmente, cabe apuntar la presencia de otros hallazgos. En concreto, 11 fragmentos de pesas de telar de tendencia rectangular y 10 fragmentos de cuernecillos de diferentes dimensiones.

4.2.2. Metalurgia

La presencia de restos metálicos es limitada. Aparecen algunos fragmentos de mineral de cobre, escoria y de objetos elaborados, entre los que destaca un puñal de cobre con escotaduras, quizás intrusivo, concentrados principalmente en los estratos superiores del relleno (UEs: 573, 567, 576, 581, 587 y 605)⁵.

4.2.3. Otros hallazgos

Al margen de la abundantísima presencia de fragmentos cerámicos, la realidad es que el resto de artefactos encontrados es muy escaso. Por su parte, entre los materiales líticos, apenas aparecen tres lascas irregulares y cinco puntas de flecha realizadas en sílex, con base cóncava y talla bifacial, repartidas en diferentes unidades estratigráficas que corresponden a su vez a los últimos momentos del relleno (UEs 587, 573, 578).

Con respecto a las manos de molinos, se han localizado tres en las unidades superiores. También se localizan cantos de origen aluvial de procedencia alóctona, que suelen aparecer con evidencias de fracturas intencionadas en toda la estratigrafía.

Finalmente cabe destacar la presencia de un fragmento de "idolillo ginemorfo" (Fig.6, n° inv. 2573) con base plana, de unos 4,5 cm de ancho con dos perforaciones, así como un fragmento de hueso finamente trabajado con sus extremos biselados, posiblemente perteneciente al remate de una aguja con forma de espátula (UE 578)

4.3. ANÁLISIS ARQUEOFAUNÍSTICO

4.3.1 caracterización faunística

En total se recuperaron 897 restos, de los que 893 corresponden a las unidades de relleno del foso. En general, mostraron buen estado de preservación, lo que facilitó la identificación anatómica y taxonómica del 35,6% (n=319) de la muestra. Con respecto a los huesos completos, la colección mostró

⁵ Los elementos relacionados con la metalurgia descubiertos en los rellenos de Foso 2 están siendo objeto de un estudio arqueometalúrgico liderado por Mercedes Murillo-Barroso (Universidad de Granada).

TABLA MORFOLÓGICA DE RECIPIENTES CERÁMICOS FOSO 2		UE 547	UE 560	UE 563	UE 565	UE 567	UE 569	UE 573	UE 578	UE 581	UE 582	UE 583	UE 584	UE 585	UE 586	UE 587	UE 588	UE 591	UE 596	UE 602	UE 603	UE 604	UE 605	UE 606	UE 607	TOTAL
Plato de borde simple	1.1	14	3	1	1	21	5	14	5	36	5	2	13	18	1	8	0	9	3	5	3	5	7	0	2	181
Plato de borde engrosado internamente	1.2	16	2	1	0	10	1	8	4	12	0	2	14	9	0	4	0	2	3	1	8	9	15	3	5	129
Plato de borde engrosado al interior y exterior	1.3	11	0	0	0	1	1	1	0	2	0	1	4	4	0	0	0	1	0	3	2	1	2	0	2	36
Plato de borde engrosado externamente	1.4	1	0	0	0	0	0	0	1	3	0	0	1	1	0	0	0	0	0	0	0	0	1	0	0	8
Taza abierta de borde simple	2.1	11	1	0	1	10	3	3	0	13	1	1	12	12	0	12	2	5	2	0	5	8	14	0	1	117
Taza abierta de borde engrosado internamente	2.2	11	1	0	0	9	0	7	0	4	1	0	4	9	0	2	0	1	0	3	1	3	2	0	1	59
Taza abierta de borde bi-engrosado	2.3	0	0	0	0	2	0	0	0	0	0	0	0	0	0	0	0	0	0	0	0	0	0	0	0	2
Taza carenada de cuerpo romboidal, con carena media y alta	3.1	1	0	0	0	0	0	0	0	0	0	0	0	0	0	0	0	0	0	0	0	0	0	0	0	1
Taza carenada de cuerpo troncocónico	3.2	1	0	0	0	0	0	1	0	0	1	0	0	0	0	0	0	0	0	0	0	0	0	0	0	3
Cazuela abierta, borde plano o redondeado	4.1	1	0	0	0	4	1	5	1	3	1	1	6	0	0	0	0	0	0	1	3	4	4	0	0	35
Cazuela honda	4.2	6	0	0	0	5	0	2	1	3	0	0	0	0	0	0	0	1	0	1	1	1	0	0	1	22
Cazuela cerrada	4.3	2	0	0	0	0	0	1	0	0	0	0	0	0	0	0	0	2	0	1	0	1	1	0	0	8
Recipiente esférico simple	5.1	6	1	0	0	10	1	3	0	2	0	0	8	4	0	2	0	3	0	2	2	1	6	0	4	55
Recipiente esférico simple de base aplanada	5.2	1	0	0	0	1	0	0	0	0	0	0	0	0	0	1	0	0	0	0	0	0	2	0	0	5

Tabla 1. Cerámica de Foso 2, distribución morfológica y por UEs

TABLA MORFOLÓGICA DE RECIPIENTES CERÁMICOS FOSO 2		UE 547	UE 560	UE 563	UE 565	UE 567	UE 569	UE 573	UE 578	UE 581	UE 582	UE 583	UE 584	UE 585	UE 586	UE 587	UE 588	UE 591	UE 596	UE 602	UE 603	UE 604	UE 605	UE 606	UE 607	TOTAL
Recipiente esférico a.C.hatado	5.3	0	0	0	0	1	0	0	0	0	0	0	0	0	0	0	0	0	0	0	0	0	1	0	0	2
Cuenco de paredes convergentes y base aplanada	6	0	0	0	0	0	0	0	0	0	0	0	0	0	0	0	0	0	0	1	0	0	0	0	0	1
Recipiente globular simple	7.1	0	0	0	0	2	0	0	0	1	0	1	2	0	0	0	1	1	0	1	0	0	1	0	0	10
Recipiente globular de boca a.C.hatada y borde engrosado	7.2	0	0	0	0	0	0	0	0	0	0	0	0	0	0	0	0	0	0	0	1	0	0	0	0	1
Recipiente globular cuello exvasado	7.3	0	0	0	0	0	0	0	0	0	0	0	0	0	0	1	0	1	0	0	0	0	0	0	0	2
Vaso de cuerpo superior troncocónico	8	0	0	0	0	0	0	0	0	0	0	0	1	0	0	0	0	0	0	0	0	0	3	0	0	4
Vaso de paredes rectas con labio y cuerpo cilíndrico	13.2	0	0	0	0	0	0	0	0	0	0	0	1	0	0	0	0	0	0	0	1	1	0	0	0	3
Mini-vaso	15	0	0	0	0	0	0	0	0	0	0	0	0	0	0	0	0	0	0	0	0	1	0	0	0	1
Cuernecillo		0	0	0	0	4	0	1	0	0	0	0	1	2	0	0	0	0	0	0	0	1	1	0	0	10
Mamelón		0	0	0	0	0	0	1	1	0	0	0	0	0	0	0	0	0	0	0	0	0	2	0	0	4
Pesa de telar		0	0	0	0	0	0	0	0	1	0	0	0	1	0	1	0	1	0	1	1	1	3	0	1	11
Idolillo (tipo tolva)		0	0	0	0	0	0	1	0	0	0	0	0	0	0	0	0	0	0	0	0	0	0	0	0	1
TOTAL		82	8	2	2	80	12	48	13	80	9	8	67	60	1	31	3	27	8	20	28	37	65	3	17	711

Tabla 1. Cerámica de Foso 2, distribución morfológica y por UEs



Figura 6. Selección de cultura material procedente del relleno de Foso 2

un porcentaje bajo (6,1%, n=55). Los dientes sueltos encontrados fueron sólo 44 (5%), lo que demuestra que originalmente se encontrarían principalmente depositados en posición primaria. (Tab. 2).

Como puede observarse, los suidos (*Sus* sp.) constituyen el grupo mejor representados, sumando 187 fragmentos (20,8%) que se corresponde a un número mínimo de individuos de siete. Los caprinos domésticos (*Ovis/Capra*) y los bóvidos (*Bos taurus*) son las taxa siguientes en porcentaje. Los primeros, con 47 restos, que corresponden a un NMI de seis y los segundos con 40 fragmentos, que representan a un NMI de 4.

El ciervo (*Cervus elaphus*), por su parte, presenta sólo 17 restos y un NMI de dos.

Le siguen los lagomorfos, representados por un NMI de ocho conejos (*Oryctolagus cuniculus*) y dos liebres (*Lepus* sp.), que pueden sumar un individuo más cualquiera de las dos especies.

Los équidos (*Equus* sp.) y los cánidos (*Canis familiaris*) presentaron cinco fragmentos cada uno y un NMI de 1. Finalmente, se suman al recuento e identificación dos huesos de ave y uno de un micromamífero.

La representación esquelética está más o menos equilibrada en todas las regiones anatómicas representadas, desde el cráneo a las falanges, incluyendo a elementos axiales, como vértebras y costillas, que fueron incluidos en la categoría de Mamíferos de Porte Medio (MPM) (Tab. 3)

Especies	NISP	% NISP	NMI	% NMI
Ave indeterminada	2	0,2		
<i>Canis familiaris</i>	5	0,6	1	3,7
<i>Equus</i> sp.	5	0,6	1	3,7
<i>Sus</i> sp.	187	20,8	7	25,9
<i>Cervidae</i>	1	0,1	1	3,7
<i>Cervus elaphus</i>	17	1,9	2	7,4
Cf. <i>Cervus elaphus</i>	1	0,1	1	3,7
<i>Bos</i> sp.	3	0,3	1	3,7
<i>Bos taurus</i>	40	4,5	4	14,8

Tabla 2. Representación de los restos faunísticos presentes en el relleno de Foso 2. Número y porcentaje de fragmentos identificados (NISP) y número mínimo de individuos (NMI)

Especies	NISP	% NISP	NMI	% NMI
<i>Ovis/Capra</i>	47	5,2	6	22,2
<i>Lagomorph</i>	1	0,1	1	3,7
<i>Lepus</i> sp.	2	0,2	1	3,7
<i>O. cuniculus</i>	8	0,9	1	3,7
Micro mamífero	1	0,1		
Mamífero de pequeño porte (MPP)	1	0,1		
Mamífero de porte medio (MPM)	95	10,6		
Mamífero de portegrande (MPG)	34	3,8		
Indeterminados	447	49,8		
Total	897	100	27	100

Tabla 2. Representación de los restos faunísticos presentes en el relleno de Foso 2. Número y porcentaje de fragmentos identificados (NISP) y número mínimo de individuos (NMI)

	<i>Canis familiaris</i>	<i>Equus sp.</i>	<i>Sus sp.</i>	<i>Cervus elaphus</i>	<i>Bos taurus</i>	Ovis/Capra	Lagomorfo	MM	MG
Astas				1	2				
Diente	1		27		9	9			
Cráneo	1		25			2	1	6	
Mandíbula	3		24		5	18		3	
Vértebra			1					22	8
Costilla								42	10
Sa.C.ro			1					1	
Escápula			9	2	1	1	1	3	1
Húmero		1	6	2			1	1	
Radio		1	8	1	6	1		1	
Ulna			9			1	1		
Carpos			1	1	1	1			
Meta.C.arpos			12						
Pelvis			10	2		3	2	2	
Fémur			8			1		2	1
Patella		1							
Tibia			8	4	1	6			
Fíbula							3		
Tarsos			8	1	5	1			
Metatarsos			8	1	4	2	1		
Otros metapodiales			8						
Huesos largos indeterminados								11	14
Falanges		2	14	2	6	1	1	1	
Total	5	5	187	17	40	47	11	95	34

Tabla3. Representación anatómica de la fauna de Foso 2

debido a la imposibilidad de identificar taxonómicamente estos elementos.

En lo concerniente a la representación esquelética se demuestra que los esqueletos de las especies más comunes, como los de suidos, bovinos domésticos y ovicaprinos, están completos. Esto último indica que la muerte y el consumo de los animales se producirían en el sitio, con su consecuente abandono posterior también en el lugar.

4.3.2. Modificaciones antrópicas y postdeposicionales

Las manipulaciones antrópicas son raras en los restos de Foso 2, aunque las alteraciones térmicas alcanzan un total de 41 fragmentos (4,6% del total de la muestra) (Tab.4)

	Óxido de Manganeso		Carbonato de calcio		Marca de raíces	
	N	%	N	%	N	%
UE550	1	33,33	3	100	0	0
UE552	1	100	0	0	0	0
UE547	67	68,37	76	77,55	1	1,02
UE563	2	40	4	80	0	0
UE565	1	50	1	50	0	0
UE567	56	47,86	96	82,05	9	7,69
UE569	6	50	8	66,67	0	0
UE573	2	66,67	2	66,67	0	0
UE578	15	68,18	18	81,82	0	0
UE581	48	42,86	103	91,96	3	2,68
UE583	8	33,33	16	66,67	0	0
UE584	32	32,32	66	66,67	1	1,01
UE585	114	52,53	172	79,26	7	3,23
UE587	53	75,71	25	35,71	1	1,43
UE596	22	91,67	4	16,67	1	4,17
UE591	0	0	1	100	1	100
UE598	0	0	7	58,33	0	0
UE602	1	100	1	100	0	0

Tabla 4. Modificaciones postdeposicionales por UE

	Óxido de Manganeso		Carbonato de calcio		Marca de raíces	
	N	%	N	%	N	%
UE603	0	0	1	100	1	100
UE604	22	84,62	8	30,77	6	23,08
UE605	20	71,43	11	39,29	8	28,57
UE607	4	21,05	15	78,95	1	5,26
Total	475	52,95	638	71,13	40	4,46

Tabla 4. Modificaciones postdeposicionales por UE

Entre los restos fracturados se evidenció un número elevado de fracturas recientes, producto de los procesos de excavación y manipulación posterior de los restos (53,8%, n=482). Las fracturas antiguas están presentes en un número inferior de restos (27,5%, n=257).

En el caso de las fracturas helicoidales o en espiral, que se interpretan como el resultado de una rotura intencionada de los hueso en estado fresco para la extracción del contenido medular de los huesos (*Outram 2001, 2002a, 2002b*), representa el 2,8% del total de la muestra (n=25). Las marcas de corte son más raras y sólo afectan a 10 fragmentos (1,1% del total).

Con respecto a las evidencias de los procesos postdeposicionales experimentados por los restos, las marcas de precipitación de óxidos de manganeso y las marcas de carbonato de calcio son las alteraciones más comunes (cerca de un 53% y un 71%, respectivamente). La lectura de los datos demuestra que la frecuencia de los restos manchados de manganeso es más elevada, de nuevo, entre los restos de las últimas UEs de relleno, mientras que las marcas de raíces aparecen con mayor abundancia entre los restos de los estratos más profundos, con más frecuencia entre los pertenecientes a los rellenos de las fosas f188 y f189. Por su parte, las marcas del carbonato de calcio son más abundantes que las anteriores en el total de muestra, como puede apreciarse en la siguiente tabla 4.

La desigual distribución de las concentraciones en el total de los restos faunísticos y la diferenciación entre la frecuencia de óxido de manganeso y de carbonato de calcio en las diferentes fases de sedimentación del foso son consistentes con lo que fue observado en el estudio microestratigráfico del relleno.

4.3.3. Distribución estratigráfica de los restos faunísticos

La distribución de restos faunísticos dentro del relleno de Foso 2 (*Tab.5*) muestra una clara concentración en los niveles superiores, donde se acumula hasta el 87% del total del conjunto faunístico recuperado. Así, destacan varios depósitos en los que la presencia de restos óseos es muy abundante.

En concreto nos referimos a los identificados con las UEs 567, 581, 584 y especialmente la UE585 que contenía el 24% de total recuperado en el sondeo arqueológico. Este es un rasgo que diferencia su relleno del observado en el Foso 1. Como se recordará (*Cap.3.3.2*) en el foso vecino eran los depósitos intermedios los que presentaban mayor concentración de fauna, mientras que, en el presente caso, ésta ocurre en los niveles más superiores. Será también en este momento donde los mamíferos parecen tener un papel importante en las actividades antrópicas que formarán parte de las acciones de relleno.

	UE	N	%	Total	%
Post-ditch	UE550	3	0,3	4	0,4
	UE552	1	0,1		
UEs superiores	UE547	98	10,9	781	87
	UE563	5	0,6		
	UE565	2	0,2		
	UE567	117	13,0		
	UE569	12	1,3		
	UE573	3	0,3		
	UE578	22	2,5		
	UE581	112	12,5		
	UE583	24	2,7		
	UE584	99	11,0		
	UE585	217	24,2		
	UE587	70	7,8		
	UE596	24	2,7		
UEs inferiores	UE591	1	0,1	88	9,7
	UE598	12	1,3		
	UE602	1	0,1		
	UE603	1	0,1		
	UE604	26	2,9		
	UE605	28	3,1		
	UE607	19	2,1		
Total		897	100	897	100

Tabla 5. Distribución de restos por UEs en el relleno de Foso 2

Por lo demás, no parece que exista otro modelo o patrón discriminatorio distinto en la selección de las especies.

Por el contrario, las unidades estratigráficas 582, 586 589,599, 600, 606 y 608, no presentaron restos de fauna. Las UEs 563, 573, 591, 602 y 603, no contenían más de 10 elementos cada una. Así, en el Foso 2, se vuelve a verificar que las concentraciones de los materiales a lo largo de la estratigrafía no son aleatorias, existen algunas concentraciones importantes en momentos concretos del relleno. De nuevo, podemos relacionar esta variabilidad con la existencia de una variada casuística, de naturaleza antrópica, en la formación de los depósitos.

4.4 RESTOS ANTROPOLÓGICOS

Este foso también presentó el único resto humano identificado en Sector L1. En la UE 602 se recuperó un fragmento de la diáfisis de un húmero derecho fracturado por encima de la tuberosidad deltoidea⁶. El resto

⁶ El estudio anatómico fue realizado por Lucy Shaw Evangelista (Evangelista y Valera 2019: 53)

óseo no presentaba fragmentos de metafisis ni extremidad proximal.

Su análisis tafonómico demostró la presencia de precipitación de óxido de manganeso a lo largo de toda la superficie. La fractura en la parte media se determinó como reciente.

Finalmente, se evidenció que la epífisis se encontraba totalmente osificada, siendo así caracterizado como un individuo adulto. El sexo no se pudo determinar.

4.5. CRONOLOGÍA DEL FOSO 2

El estudio cronológico del Foso 2 sigue las líneas metodológicas detalladas con anterioridad (ver Cap. 2.3.4). En esta estructura se seleccionaron un total de 15 muestras enviadas al laboratorio *Beta Analytic*, para su medición por AMS. En este proceso también se primó la selección de muestras representativas dentro de la estratigrafía del foso, georreferenciándose cada una de ellas (Tab.6). Tres de las muestras no pudieron ser datadas por falta de colágeno, y otras dos dataciones

Estructura	UE	Especie	Hueso	Cód. Laboratorio	$\delta^{13}\text{C}$	$\delta^{15}\text{N}$	C:N	BP	\pm	Cal BC 1 σ (68%)	Cal BC 2 σ (95%)
Foso 2	567	<i>Ovis/Capra</i>	Mandíbula (derecha)	Beta-461402	-20,6	5,5	3,4	3880	30	2450-2300	2470-2210
Foso 2	573	<i>Ovis/Capra</i>	Mandíbula (derecha)	Beta-461403	-19,7	5,5	3,2	3880	30	2450-2300	2470-2210
Foso 2	584	<i>Sus sp.</i>	Ulna (codo derecha)	Beta-461405	-19,6	4,9	3,3	3870	30	2450-2290	2460-2210
Foso 2	585	<i>Ovis/Capra</i>	Mandíbula (derecha)	Beta-461407	-20,6	4,5	3,3	3920	30	2470-2350	2480-2290
Foso 2	585	<i>Canis familiaris</i>	Mandíbula (derecha)	Beta-461406	-19,1	7,8	3,3	3930	30	2470-2350	2560-2300
Foso 2	596	<i>Sus sp.</i>	Mandíbula (derecha)	Beta-461408	-19,1	4,2	3,3	3840	30	2400-2210	2460-2200
Foso 2	602	<i>Sus sp.</i>	Ulna (codo derecha)	Beta-461410	-20,0	5,8	3,3	3820	30	2340-2200	2450-2140
Foso 2	603	<i>Sus sp.</i>	Mandíbula	Beta-461411	-20,1	5,0	3,3	3910	30	2460-2350	2470-2300
Foso 2	604	<i>Sus sp.</i>	Mandíbula	Beta-461412	-20,0	4,8	3,3	3830	30	2340-2200	2450-2150
Foso 2	605	<i>Sus sp.</i>	Mandíbula (derecha)	Beta-461413	-19,9	5,8	3,3	3940	30	2480-2350	2570-2310

Tabla 6. Dataciones absolutas obtenidas en el relleno de Foso 2

correspondían a fosas prehistóricas posteriores, excavadas sobre el relleno de Foso 2. Se comentarán en detalle en el Capítulo 6.2.

La contextualización de cada muestra del relleno del Foso 2 se describe a continuación, desde las UEs más profundas a las más superficiales:

- **Beta-461413:** Recogida en la campaña de 2016, en la UE604. Corresponde a una unidad de matriz arcilloso-arenosa de color marrón anaranjada, con algunas inclusiones blanquecinas del geológico. Abundantes restos de fauna entre las que destacan varios fragmentos de mandíbulas de mandíbulas de ovicápridos y suidos. Los recipientes cerámicos muestran la tipología habitual, destacando un vaso de pequeño tamaño. También aparecen pesas de telar y cuernecillos de arcilla. Esta unidad se apoya en las UEs 602, 600, y 605, mientras que está cubierta por las UEs 591 y 598.

- **Beta-461412:** Recogida en la campaña de 2016, en la UE 605. Corresponde a una unidad de matriz arcilloso-arenosa de color marrón gris, con inclusiones pétreas de tamaño medio y grande. Abundantes restos de fauna entre las que destacan huesos largos y una mandíbula de *Sus* sp. Los fragmentos de recipientes cerámicos son muy abundantes y prácticamente se identifican todos los tipos frecuentes en el relleno de este foso. Destaca la aparición de mineral de cobre.

Esta unidad se apoya en las UEs 603, 606, y 607, mientras que está cubierta por las UEs 604 y 602.

- **Beta-461411:** Recogida en la campaña de 2016, en la UE 603. Corresponde a una unidad de matriz arcilloso-arenosa de color marrón clara y algunas inclusiones y nódulos geológicos descompuestos. La cerámica repite formas abiertas. Esta unidad está cubierta por la UE599, y apoya sobre la UE605.

- **Beta-461410:** Recogida en la campaña de 2016, en la UE602. Corresponde a una unidad de matriz arcilloso-arenosa de color marrón gris, con presencia de carbón disgregado.

En este depósito se localizó un fragmento de húmero humano, junto a fragmentos de fauna. La cerámica repite formas abiertas, junto a alguna olla de pequeño formato. Esta unidad se apoya sobre las UEs 605 y 607 y está cubierta por las UEs 591 y 604.

- **Beta-461408:** Recogida en la campaña de 2016, en la UE596. Corresponde a una unidad de matriz arcilloso-arenosa de color marrón anaranjado, con inclusiones pétreas de tamaño medio. Abundantes restos de fauna entre las que destacan tres fragmentos de mandíbulas de suido. Los tipos cerámicos más abundantes son los platos de borde engrosado. Esta unidad descansa sobre las UEs 591 y 598 y está cubierta por la UE587.

- **Beta-461407:** Recogida en la campaña de 2016, en la UE 585. Se extrajo de un depósito muy potente con matriz arcilloso-arenosa de color marrón oscuro e inclusiones de mediano y gran tamaño. Está caracterizado el relleno de este depósito por una abundante presencia de restos óseos de animales. Por ejemplo, aparecen varias mandíbulas de ovicápridos, de suido y de un cánido, y escasos de malacofauna. Además, se recuperó una gran cantidad de formas cerámicas de todas las tipologías habituales en el relleno de Foso 2. Entre ellos destacan una gran variedad de platos, junto a tazas y pesas de telar. Esta unidad descansa sobre la UE583, y a su vez, está cubierta por las UEs 567 y 547.

- **Beta-461406:** Recogida en la campaña de 2016, en la UE585. Se trata de una segunda muestra tomada en esta unidad estratigráfica.

- **Beta-461405:** Recogida en la campaña de 2016, en la UE584. Se extrajo de un depósito con matriz arcilloso-arenosa de color marrón gris. Se caracteriza por una gran profusión de materiales arqueológicos. Abundan los fragmentos líticos y una gran variedad de formas cerámicas. Platos de borde engrosado de distinta tipología, tazas, y formas globulares. Esta unidad se apoya sobre la UE583, y está cubierta por la UE577.

- **Beta-461403:** Recogida en la campaña de 2016, en la UE573. Se extrajo de un depósito

muy potente con matriz arcilloso-arenosa de color marrón anaranjada. Se caracteriza por una gran profusión de materiales arqueológicos. Entre ellos destacan una gran variedad de fragmentos de platos y tazas, cuernecillos de arcilla, varias puntas de flecha, el fragmento de un idolillo y un puñal de cobre con escotaduras, de posible naturaleza intrusiva. Esta unidad descansa sobre la UE583, y a su vez, está cubierta por las UEs 567 y 547.

• **Beta-461402:** Recogida en la campaña de 2016, en la UE567. Aparece en un depósito con matriz arcilloso-arenosa de color marrón. Las formas cerámicas que contiene son platos y tazas y algún cuenco con perfil de tendencia esférica.

Se apoya en la UE573 y UE578 y aparece cubierta por las UEs 447, 550, 563, y 565.

El modelado de las dataciones radiocarbónicas de esta estructura y la detección de posibles *outliers* (Beta-461410 y Beta-461412) "han sido discutidos con anterioridad en (Milesi et al. 2019)".

De los dos modelos propuestos, el primero fue organizado operativamente en dos fases⁷ (una correspondiente a los rellenos

⁷ En esta misma publicación (Milesi et al., 2019) se llegó a proponer un segundo modelo más complejo, que diferenciaba a su vez dos momentos dentro de las dinámicas de relleno del Foso 2.

de F2 y la otra a las actividades *post-ditch*). Proporcionó un $A_{overall}$ de 74 %.

La "fase 1", o más antigua, presentaría fechas de inicio (*Boundary start*) entre 2460-2365 cal a.C. (68%), o 2510-2320 cal a.C. (95%) y fin (*Boundary end*) entre 2340-2270 cal a.C. (68%), o 2400-2230 cal a.C. (95%), con un *span* o período de duración entre 0 y 180 años (2 σ). La fase 2, correspondiente al momento posterior al relleno del foso o *post-ditch* presentaría fechas de inicio (*Boundary start*) entre 2340-2270 cal B.C. (68%), o 2400-2230 cal B.C. (95%) y fin (*Boundary end*) entre 2285-2160 cal B.C. (68%), o 2340-1915 cal a.C. (95%), con un *span* entre 0 y 90 años (2 σ).

En términos genéricos, se pudo atribuir una datación absoluta para la colmatación de Foso 2 en momentos del tercer cuarto del III milenio cal. a.C.⁸

⁸ En el Capítulo 7 de esta misma obra se ha realizado una propuesta actualizada de este modelo, sin tener en cuenta las dataciones identificadas como *outliers*, ni las fosas llevadas a cabo sobre los rellenos de Foso 2 (ver Cap. 6.2), dado que son eventos completamente independientes y su relación física es coyuntural.

BIBLIOGRAFÍA

BRONK-RAMSEY, C. (2009): "Bayesian Analysis of Radiocarbon Dates". *Radiocarbon*, vol 51: 337-360.

EVANGELISTA, L.S.; VALERA, A.C. (2019): "Segmenting and depositing: the manipulation of the human body inditched enclosures seen from Perdigões", en VALERA, A.C. (Ed.), *Fragmentation and depositions in pre and proto-historic Portugal*, 14 de octubre de 2017, Lisboa, pp. 47-69.

MATTHEWS, W.; FRENCH, C. A. I.; LAWRENCE, T.; CUTLER, D. F. y JONES, M. K. (1997): "Microstratigraphic traces of site formation processes and humanactivities". *World Archaeology*, 29 (2): 281-308.

MILESI GARCÍA, L. B. (2018): *Lugares de agregación en la Prehistoria desde una perspectiva etnográfica: los recintos de fosos como caso de estudio*. Granada: Universidad de Granada.

MILESI GARCÍA, L.B; MÁRQUEZ-ROMERO, J.E.; SUÁREZ-PADILLA J. y CARO-HERRERO, J.L. (2019): "Arquitectura monumental final (2500-2250 cal a.C.) en el yacimiento de Perdigões (Portugal). Aspectos formales y cronológicos a partir del estudio de Foso 2", *Trabajo de Prehistoria*, 76 (1): 161-176.

OUTRAM, A., (2001): "A new approach to identifying bone marrow and grease exploitation: why the "indeterminate" fragments should not be ignored", *Journal of Archaeology Science*, 28 (4): 401-410.

OUTRAM, A., (2002a): "Bone fracture and within-bone nutrients: an experimentally based method for investigating levels of marrow extraction". En *miracle P., Milner, N. (Eds.), Consuming Passions and Patterns of Consumption*. McDonald Institute for Archaeological Research, Cambridge: 51-64.

OUTRAM, A., (2002b): "Distinguishing bone fat exploration from other taphonomic processes: what caused the high level of bone fragmentation at the Middle Neolithic site of Ajvide, Gotland?". En *Mulville, J., Outram, A. (Eds.), The Zooarchaeology of Fats, Oils, Milk and Dairying*. Oxbow Books, Oxford: 32-43.

REIMER, P. J., AUSTIN, W. E. N., BARD, E., BAYLISS, A., BLA.C.KWELL, P. G., BRONK RAMSEY, C., BUTZIN, M., CHENG, H., EDWARDS, R. L., FRIEDRICH, M., GROOTES, P. M., GUILDERSON, T. P., HAJDAS, I., HEATON, T. J., HOGG, A. G., HUGHEN, K. A., KROMER, B., MANNING, S. W., MUSCHELER, R., PALMER, J. G., PEARSON, C., PLICHT, J. VAN DER, REIMER, R. W., RICHARDS, D. A., SCOTT, E. M., SOUTHON, J. R., TURNEY, C. S. M., WA.C.KER, L., ADOLPHI, F., BÜNTGEN, U., CAPANO, M., FAHRNI, S. M., FOGTMANN-SCHULZ, A., FRIEDRICH, R., KÖHLER, P., KUDSK, S., MIYAKE, F., OLSEN, J., REINIG, F., SAKAMOTO, M., SOOKDEO, A., & TALAMO, S. (2020). The IntCal20 Northern Hemisphere Radiocarbon Age Calibration Curve (0–55 cal kBP). *Radiocarbon*, 62 (4), 725–757.

SHILLITO, L.M. y MATTHEWS, W. (2013): "Geoarchaeological Investigations of Midden-Formation Processes in the Early to Late Ceramic Neolithic Levels at Çatalhöyük, Turkey ca. 8550–8370 cal BP". *Geoarchaeology*, 28(1): 25–49.

VALERA, A. C. (1998): "Análise da componente cerâmica". En Lago, M; Duarte, C.; Valera, A.; Albergaria, J.; Almeida, F. y Carvalho, A. F (eds.): *O povoado dos Perdígões (Reguengos de Monsaraz): dados preliminares dos trabalhos arqueológicos realizados em 1997*. *Revista portuguesa de Arqueologia*, 1, número 1, IPA, Lisboa: 80-104.

ANEXO: Relación de UEs identificadas en el relleno de la zanja 14, del Foso 2 y estructuras postditch

UE	ESTRUCTURA	DESCRIPCIÓN	Relaciones ESTRATIGRÁFICAS	COTA (Z) m.s.n.m.
110		Depósito de naturaleza geológica. Compuesto de gabros y dioritos. Estéril.	Es cortado por cada una de las estructuras negativas documentadas en el sector L1. Cubierto por la UE 108.	Techo: 242.98 m
630.1	Zanja s14	Interficie negativa tipo zanja. Excavada sobre el geológico de base. Perfil en V.	Corta a la UE 110. Colmatada por la secuencia estratigráfica de la zanja 14. Cubierta por la UE 108. Es cortada por la UE 153.1	—
629	Zanja s14	Depósito de naturaleza antrópica. Matriz arenosa, marrón amarillento clara, con inclusiones pétreas de tamaño medio, dispuesta a modo de base sobre la que se disponen las capas alternadas de geológico y sedimento. Presencia de pequeña muestra de fauna y material cerámico.	Cubierta por UE628 Apoya sobre geológico	Techo: 241.24 Muro: 241.17
628	Zanja s14	Depósito de naturaleza geológica. Matriz arenosa, con grano fino, semicompacta y color grisáceo blanquecino. Estéril.	Cubierta por UE627 Apoya en UE629	Techo: 241.26 Muro: 241.24
627	Zanja s14	Depósito de naturaleza antrópica. Matriz arcilloso-arenosa, marrón-gris claro.	Cubierta por UE626 Apoya en UE628	Techo: 241.28 Muro: 241.26
626	Zanja s14	Depósito de naturaleza geológica. Matriz arenosa, con grano fino, semicompacta y color grisáceo blanquecino. Estéril.	Cubierta por UE625 Apoya en UE627	Techo: 241.32 Muro 241.28
625	Zanja s14	Unidad estratigráfica de matriz arcilloso-arenosa, marrón-gris claro.	Cubierta por UE624 Apoya en UE626	Techo: 241.37 Muro: 241.32
624	Zanja s14	Depósito de naturaleza geológica. Matriz arenosa, con grano fino, semicompacta y color grisáceo blanquecino. Estéril.	Cubierta por UE623 Apoya en UE625	Techo: 241.40 Muro: 241.37
623	Zanja s14	Depósito de naturaleza antrópica. Matriz arcilloso-arenosa, marrón-gris claro.	Cubierta por UE622 Apoya en UE624	Techo: 241.57 Muro: 241.40

UE	ESTRUCTURA	DESCRIPCIÓN	Relaciones ESTRATIGRÁFICAS	COTA (Z) m.s.n.m.
622	Zanja s14	Depósito de naturaleza geológica. Matriz arenosa, con grano fino, semicompacta y color grisáceo blanquecino. Estéril.	Cubierta por UE621 Apoya en UE623	Techo: 241.59 Muro: 241.57
621	Zanja s14	Depósito de naturaleza antrópica. Matriz arcilloso-arenosa, marrón-gris claro.	Cubierta por UE620 Apoya en UE622	Techo: 241.65 Muro: 241.59
620	Zanja s14	Depósito de naturaleza geológica. Matriz arenosa, con grano fino, semicompacta y color grisáceo blanquecino. Estéril.	Cubierta por UE619 Apoya en UE621	Techo: 241.69 Muro: 241.65
619	Zanja s14	Depósito de naturaleza antrópica. Matriz arcilloso-arenosa, marrón-gris claro con escasas inclusiones.	Cubierta por UE618 Apoya en UE620	Techo: 241.75 Muro: 241.69
618	Zanja s14	Depósito de naturaleza geológica. Matriz arenosa, con grano fino, semicompacta y color grisáceo blanquecino. Estéril.	Cubierta por UE617 Apoya en UE619	Techo: 241.78 Muro: 241.75
617	Zanja s14	Depósito de naturaleza antrópica. Matriz arcilloso-arenosa, marrón-gris claro con escasas inclusiones. Presencia de pequeño fragmento cerámico.	Cubierta por UE616 Apoya en UE618	Techo: 241.81 Muro: 241.78
616	Zanja s14	Depósito de naturaleza geológica. Matriz arenosa, con grano fino, semicompacta y color grisáceo blanquecino. Estéril.	Cubierta por UE615 Apoya en UE617	Techo: 241.83 Muro: 241.81
615	Zanja s14	Depósito de naturaleza antrópica. Matriz arcilloso-arenosa, marrón-gris claro con escasas inclusiones. Presencia de pequeño fragmento cerámico.	Cubierta por UE614 Apoya en UE616	Techo: 241.90 Muro 241.83

UE	ESTRUCTURA	DESCRIPCIÓN	Relaciones ESTRATIGRÁFICAS	COTA (Z) m.s.n.m.
614	Zanja s14	Depósito de naturaleza antrópica. Matriz arenosa, con grano fino, semicompacta y color grisáceo blanquecino. Estéril.	Cubierta por UE613 Apoya en UE615	Techo: 241.96 Muro: 241.90
613	Zanja s14	Depósito de naturaleza antrópica. Matriz arcilloso-arenosa, marrón-gris claro con escasas inclusiones. Presencia de un fragmento cerámico pequeño y pequeña muestra de fauna.	Cubierta por UE612 Apoya en UE614	Techo: 241.97 Muro: 241.96
612	Zanja s14	Depósito de naturaleza geológica Matriz arenosa, con grano fino, semicompacta y color grisáceo blanquecino. Estéril.	Cubierta por UE611 Apoya en UE613	Techo: 241.99 Muro: 241.97
611	Zanja s14	Depósito de naturaleza antrópica. Matriz arcilloso-arenosa, marrón-gris claro con escasa presencia de componente artefactual. Se recoge un fragmento cerámico y otro lítico.	Cubierta por UE610 Apoya en UE612	Techo: 242.01 Muro: 241.99
610	Zanja s14	Depósito de naturaleza antrópica. Matriz arenosa, con grano fino, semicompacta y color grisáceo blanquecino. Estéril. Se detecta una inclusión pétreo distinta de la matriz geológica (UE 110).	Cubierta por UE582, UE590 Apoya en UE611	Techo: 242.05 Muro: 242.01
590	Zanja s14	Depósito de naturaleza antrópica. Matriz arenosa, con grano fino, semicompacta y color grisáceo blanquecino. Estéril. Discurre en paralelo al borde NW del foso.	Cubierta por UE579 Apoya en UE610 y UE591	Techo: 242.13 Muro: 242.02
579	Zanja s14	Depósito de naturaleza antrópica. Matriz arcilloso-arenosa, marrón- amarillo. Sin inclusiones significativas.	Cubierta por UE575 Apoya en UE590	Techo: 242.24 Muro: 242.13
575	Zanja s14	Depósito de naturaleza geológica. Matriz arenosa, marrón-gris, con inclusiones blanquecinas de geológico descompuesto y compacidad alta. Discurre junto al borde NE del foso.	Cubierta por UE547 Apoya en UE582	Techo: 242.55 Muro: 242.24
153.1	Foso 2	Interficie negativa tipo foso. Excavada sobre el geológico de base. Perfil en V.	Corta a la UE 110. Colmatada por la secuencia estratigráfica del Foso 2. Cubierta por la UE 108. Corta a UE575.	—

UE	ESTRUCTURA	DESCRIPCIÓN	Relaciones ESTRATIGRÁFICAS	COTA (Z) m.s.n.m.
608	Foso 2	Depósito de naturaleza antrópica. Matriz arenosa, de escasa potencia, sin inclusiones, amarillo-verdosa. Evidencia de cobre.	Cubierta por UE606 y UE607 Apoya en UE110	Techo: 240.60 Muro: 240.51
607	Foso 2	Depósito de naturaleza antrópica. Matriz arcilloso-arenoso, marrón-amarillo, en el que se reconocen formas cerámicas y un posible fragmento de adobe.	Cubierta por UE602 y UE605 Apoya en UE606, UE608, UE110	Techo: 241.17 Muro: 240.64
606	Foso 2	Depósito de naturaleza antrópica. Matriz de matriz arcilloso-arenosa, marrón-gris, con inclusiones de tamaño medio. Escaso contenido artefactual en el que se reconoce la forma tipo 1.2 a, g y c.	Cubierta por UE603 y UE605 Apoya en UE608 y UE110	Techo: 240.92 Muro: 240.52
604.1	Fosa f189 Fosa interior Foso 2.	Interficie negativa tipo fosa. Excavada en los depósitos de colmatación del Foso 2.	Corta UE606, UE607 y UE600	—
604	Fosa f189 Fosa interior Foso 2.	Depósito de naturaleza antrópica. Matriz arenosa, marrón-anaranjada, con compacidad alta, micácea y con algunas inclusiones blanquecinas del geológico. Presenta gran concentración de componente artefactual y restos de fauna.	Cubierta por UE591 y UE598 Apoya en UE602, UE600 y UE605	Techo: 241.23 Muro: 240.99
591	Foso 2	Depósito de naturaleza antrópica. Matriz con gran potencia, compuesta por matriz arcilloso-arenosa, marrón parduzca con nódulos de geológico descompuesto. Contiene formas cerámicas.	Cubierta por UE582, UE596 y UE598 Apoya en UE602 y UE604	Techo: 241.70 Muro: 241.25
605.1	Fosa f188. Fosa interior Foso 2.	Interficie negativa tipo fosa. Excavada en los depósitos de colmatación del Foso 2.	Corta UE602, UE603 y UE599	—
605	Fosa f188. Fosa interior Foso 2.	Depósito de naturaleza antrópica, relleno de f188. Matriz arcilloso-arenosa, marrón-gris, con inclusiones pétreas de tamaño medio y grande. Se reconocen formas cerámicas y componente orgánico, así como restos de mineral de cobre.	Cubierta por UE604 y UE602 Rellena a 605.1.	Techo: 240.91 Muro: 240.71
603	Foso 2	Depósito de naturaleza antrópica. Matriz arcilloso-arenosa, marrón clara, con escasas inclusiones pétreas, y menor cantidad de nódulos de geológico descompuesto que la UE601. Presenta componente artefactual y orgánico.	Cubierta por UE599 y UE605	Techo: 241.37 Muro: 240.99

UE	ESTRUCTURA	DESCRIPCIÓN	Relaciones ESTRATIGRÁFICAS	COTA (Z) m.s.n.m.
602	Foso 2	Depósito de naturaleza antrópica. Matriz arcilloso-arenosa, marrón-gris, con menor presencia de geológico descompuesto que UE591, con presencia de carbón disgregado, restos cerámicos y orgánicos.	Cubierta por UE591 UE604 Apoya en UE605 y UE607	Techo: 241.21 Muro: 240.99
599	Foso 2	Depósito de naturaleza geológica. Matriz arcilloso-arenosa, marrón-gris, con gran cantidad de inclusiones blanquecinas de geológico descompuesto, con compacidad media.	Cubierta por UE598 Apoya en UE603	Techo: 241.40 Muro: 241.38
600	Foso 2	Depósito de naturaleza geológica. Matriz arcilloso-arenosa, marrón-gris, con gran cantidad de inclusiones blanquecinas de geológico descompuesto, con compacidad media.	Cubierta por UE603. Cortada por f189. Apoya en UE606	Techo: 240.99 Muro: 240.92
598	Foso 2	Depósito de naturaleza geológica. Matriz arcilloso-arenosa, marrón-gris, con gran cantidad de inclusiones blanquecinas de geológico descompuesto, con compacidad media.	Cubierta por UE589 Apoya en UE599	Techo: 241.59 Muro: 241.40
596	Foso 2	Depósito de naturaleza antrópica. Matriz arcilloso-arenosa, marrón anaranjada oscura, con inclusiones pétreas de tamaño medio, material cerámico y faunístico.	Cubierta por UE587 Apoya en UE591 y UE598	Techo: 241.41 Muro: 241.30
589	Foso 2	Depósito de naturaleza geológica. Matriz arcilloso-arenosa, marrón-gris, con gran cantidad de inclusiones blanquecinas de geológico descompuesto, con compacidad media.	Cubierta por UE576 y UE588 Apoya en UE598	Techo: 241.79 Muro: 241.59
588	Foso 2	Depósito de naturaleza antrópica. Matriz arcilloso-arenosa, marrón anaranjada, de compacidad baja, con importante presencia de carbón disgregado en la matriz y componente artefactual.	Cubierta UE587 Apoya en UE589 y UE596	Techo: 241.78 Muro: 241.45
587	Foso 2	Depósito de naturaleza antrópica. Matriz arcilloso-arenosa, con abundante presencia de gránulos de geológico descompuesto y compacidad baja. Presenta componente artefactual y faunístico.	Cubierta por UE585 Apoya en UE596 y UE588	Techo: 241.75 Muro: 241.50

UE	ESTRUCTURA	DESCRIPCIÓN	Relaciones ESTRATIGRÁFICAS	COTA (Z) m.s.n.m.
586	Foso 2	Depósito de naturaleza antrópica. Matriz gris-amarilla clara, con escasas inclusiones pétreas de tamaño pequeño. Sin componente artefactual.	Cubierta por UE583 Apoya en UE587	Techo: 241.80 Muro: 241.60
585	Foso 2	Depósito de naturaleza antrópica. Matriz arcilloso-arenosa marrón oscuro, micácea, con inclusiones medianas y grandes. Importante presencia de material orgánico y componente artefactual. Debajo de este primer episodio, se evidencia dentro de la misma matriz un segundo episodio con menor concentración de materiales.	Cubierta por UE582, UE583, UE584 Apoya en UE587	Techo: 242.85 Muro: 242.58
584	Foso 2	Depósito de naturaleza antrópica. Matriz arcilloso-arenosa, marrón-gris, de compacidad baja, con gran presencia de fragmentos líticos de tamaño medio y pequeño. Importante componente artefactual.	Cubierta por UE577 Apoya en UE585	Techo: 242.20 Muro: 241.92
583	Foso 2	Depósito de naturaleza antrópica. Matriz arcilloso-arenosa, marrón-amarillo, con menor número de inclusiones pétreas y compacidad baja. Se localiza un fragmento de impronta de caña y formas cerámicas.	Cubierta por UE581 y UE573 Apoya en UE585 y UE586	Techo: 241.92 Muro: 241.80
582	Foso 2	Depósito de naturaleza antrópica. Matriz arcilloso-arenosa, amarillo-verdosa, sin inclusiones significativas y con componente artefactual.	Cubierta por UE569 Apoya en UE590 y UE585	Techo: 242.33 Muro: 242.05
581	Foso 2	Depósito de naturaleza antrópica. Matriz arcilloso-arenosa, marrón parduzco, con inclusiones de tamaño medio, con abundante presencia de fauna, presencia de malacofauna, componente artefactual y fragmentos líticos de diferente naturaleza. También se localiza mineral de cobre.	Cubierta por UE578 Apoya en UE582 y UE583	Techo: 242.22 Muro: 242.04
578	Foso 2	Depósito de naturaleza antrópica. Matriz arcilloso-arenosa, marrón – gris, con inclusiones pétreas de tamaño medio y pequeño e importante presencia de carbón diseminado en el sedimento, así como componente artefactual. Destaca un fragmento del extremo de una aguja de hueso con forma de espátula.	Cubierta por UE567 Apoya en UE581	Techo: 242.38 Muro: 242.17

UE	ESTRUCTURA	DESCRIPCIÓN	Relaciones ESTRATIGRÁFICAS	COTA (Z) m.s.n.m.
577	Foso 2	Depósito de naturaleza antrópica. Matriz arenosa, marrón-amarilla, compacta, con inclusiones blanquecinas similares al geológico descompuesto. Sin componente artefactual.	Cubierta por UE567 Apoya en UE584	Techo: 242.35 Muro: 242.22
576	Foso 2	Depósito de naturaleza geológico Matriz arenosa, marrón-gris, con inclusiones blanquecinas de geológico descompuesto, y compacidad baja. Discurre junto al borde SW del foso. Destaca la existencia de una pequeña varilla de cobre.	Cubierta por UE567 Apoya en UE589	Techo: 242.39 Muro: 241.93
573	Foso 2	Depósito de naturaleza antrópica potente que discurre desde el perfil N hasta el centro del sector excavado, con matriz arcilloso-arenosa, marrón anaranjada, con inclusiones pétreas medianas, artefactual y concentración de materiales particulares. Indicar la presencia, previsiblemente de naturaleza intrusiva, de un puñal de escotadura.	Cubierta por UE567 y UE547 Apoya en UE583	Techo: 242.40 Muro: 242.00
569	Foso 2	Depósito de naturaleza antrópica. Matriz marrón-gris, con compacidad alta y presencia de gránulos pequeños de geológico descompuesto. Sin contenido artefactual significativo.	Cubierta por UE547 Apoya sobre UE578	Techo: 242.62 Muro: 242.33
567	Foso 2	Depósito de naturaleza antrópica. Matriz arcilloso-arenosa, marrón parduzca, con inclusiones medianas, de compacidad baja y componente artefactual.	Cubierta por UE547, UE550, UE563, UE565 Apoya en UE573, UE578	Techo: 242.51 Muro: 242.40
565	Foso 2	Depósito de naturaleza antrópica. Matriz arcilloso-arenosa, marrón-gris, con inclusiones pétreas. Montón de fragmentos líticos de tamaño medio-grande. Escaso componente artefactual.	Cubierta por UE547 Apoya en UE567	Techo: 242.60 Muro: 242.43
563.1	Fosa f191 Fosa interior Foso 2	Interficie negativa tipo fosa. Excavada en los depósitos de colmatación del Foso 2.	Corta UE567	—

UE	ESTRUCTURA	DESCRIPCIÓN	Relaciones ESTRATIGRÁFICAS	COTA (Z) m.s.n.m.
563	Fosa f191 Fosa interior Foso 2	Depósito de naturaleza antrópica. Matriz arcillosa, micácea, marrón naranja oscura, con inclusiones de tamaño medio, especialmente fragmentos líticos. Escaso componente artefactual.	Cubierta por UE547 Apoya en UE567	Techo: 242.57 Muro: 242.50
560	Foso 2	Depósito de naturaleza antrópica. Matriz arcilloso-arenosa, marrón-gris y compacidad alta. Con inclusiones de tamaño medio, presenta restos de fauna de mayor tamaño, fragmentos líticos de tamaño medio y material cerámico.	Cubierta por UE152 Apoya en UE547	Techo: 242.70 Muro: 242.59
547	Foso 2	Depósito de naturaleza antrópica. Matriz arcilloso-arenosa, marrón-amarillo y compacidad media. Con inclusiones de tamaño medio. Presencia de elementos líticos de tamaño medio, resto de fauna y diverso componente artefactual.	Cubierta por UE152 y UE550 Apoya en UE563, UE565, UE567, UE569, UE573 Cortada por fi187	Techo: 242.72 Muro: 242.50
550	Foso 2 Actividades postditch	Depósito de naturaleza antrópica. Matriz arcilloso-arenosa, color marrón-gris, con inclusiones blanquecinas de geológico descompuesto de tamaño pequeño y diverso componente artefactual.	Cubierta por UE152 apoya en UE547	Techo: 242,65 Muro: 242.51
546.1	Fosa f173 Actividades postditch	Interficie negativa tipo fosa. Excavada en los depósitos de colmatación del Foso 2.	Corta a UE547	—
546	Fosa f173 Actividades postditch	Depósito de naturaleza antrópica. Matriz arcilloso-arenosa, marrón-gris, con inclusiones de tamaño medio y grande, de compacidad media. Presencia de elementos líticos, una pesa de telar, abundantes restos de fauna, y formas cerámicas.	Cubierta por UE152 Apoya en UE547	Techo: 243. 48 Muro: 242.59
552.1	Fosa f174 Actividades postditch	Interficie negativa tipo fosa. Excavada en los depósitos de colmatación del Foso 2.	Corta a UE547	—
552	Fosa f174 Actividades postditch	Depósito de naturaleza antrópica. Matriz arcillosa, marrón anaranjada, micácea y compacidad baja. Presenta formas cerámicas.	Cubierta por UE152 Apoya en UE547	Techo: 242.75 Muro: 242.58

UE	ESTRUCTURA	DESCRIPCIÓN	Relaciones ESTRATIGRÁFICAS	COTA (Z) m.s.n.m.
554.1	Fosa f175 Actividades postditch	Interficie negativa tipo fosa. Excavada en los depósitos de colmatación del Foso 2.		—
554	Fosa f175 Actividades postditch	Depósito de naturaleza antrópica. Matriz arcilloso-arenosa, marrón con inclusiones líticas de tamaño medio-grande.	Cubierta por UE152	Techo: 242.68 Muro: no excavada
631.1	Fosa f187 Actividades postditch	Interficie negativa tipo fosa. Excavada en los depósitos de colmatación del Foso 2.	Corta UE547	—
632	Fosa 187 Actividades postditch	Depósito de naturaleza antrópica. Matriz con matriz arcilloso-arenosa, marrón oscura, sin inclusiones.	Cubierta por UE631 Apoya en UE631.1	Techo: 242.19 Muro: 242.16
631	Fosa 187 Actividades postditch	Depósito de naturaleza antrópica. Matriz con matriz de gabrodiorita descompuesta procedente del geológico. No presenta otras inclusiones.	Cubierta por UE152 Apoya en UE632	Techo: 242.62 Muro: 242.19
545.1	Fosa f193 Actividades postditch	Interficie negativa tipo fosa. Excavada en los depósitos de colmatación del Foso 2.	Corta a 547. En su interficie apoya el muro p5 (UE545)	—
545	Fosa 93-p5 Actividades postditch	Retazo de muro de mampuestos y arcilla, que apoya en la pared de la fosa f193.	Contiene a UE541	Techo: 242,75 Muro: 242, 55
541	Estrato de colmatación de p5	Depósito de naturaleza antrópica. Matriz arcillosa, naranja con nódulos blanquecinos ocasionales. Presencia de mano de molino, restos de fauna y bordes de formas cerámicas, incluyendo un cuenco de carena alta y borde entrante, propio del "Horizonte de Ferradeiera", en buen estado de conservación.	Cubierta por 152 y cortada por f182 (surrriba o marca de arado).	Techo: 242,60 Muro: 242,55

UE	ESTRUCTURA	DESCRIPCIÓN	Relaciones ESTRATIGRÁFICAS	COTA (Z) m.s.n.m.
152	Nivel revuelto Actividades postditch	Primer depósito de naturaleza antrópica prehistórica identificado, muy afectado por la presencia de surribas o marcas de arado. Presentaba abundante material arqueológico lítico, faunístico y cerámico.	Cubierta por UE108 Cortada por f177, f178, f179, f180, f181, f182 (surribas o marcas de arado)	Techo: 242,92 Muro: 242,62
561.1	Fosa f192	Interficie negativa de fosa acampanada con un diámetro de 1.60 m en la boca. Localizada en el sector NE de la superficie a excavar. Su componente artefactual la sitúa en un horizonte moderno (siglo XVI d.C.).	Corta a las unidades de colmatación de Foso 2 desde la superficie hasta el nivel geológico de base.	—
561	Fosa f192	Depósito de naturaleza antrópica. Matriz arcilloso-arenosa, marrón oscura, más compacta, con fragmentos de cerámica de época moderna (siglo XVI d.C.).	Cortada por f180 (surriba o marca de arado). Apoya en nivel geológico [110].	Techo: 242.69 Muro: 240.54
515.1	Fosa f179 Marca arado	Interficie de surriba o marca de arado.	Corta a UE152	—
515	Fosa f179 Marca arado	Unidad estratigráfica de relleno. Material arqueológico descontextualizado.	Rellena interficie 515.1	Techo: 243.02 Muro: 242.65
108	Nivel revuelto	Depósito de naturaleza antrópica. Estrato terrígeno revuelto generalizado en todo el yacimiento. Cronología contemporánea. Generado como consecuencia de las remociones de tierras contemporáneas (1997).	Cubre a todos los niveles arqueológicos preservados del sector L1.	Superficie
517.1	Fosa f180 Marca arado	Interficie de marca de arado.	Corta a UE152	—
517	Fosa f180 Marca arado	Depósito de colmatación. Material arqueológico descontextualizado.	Rellena interficie 517.1	Techo: 242.81 Muro: 242.71
519.1	Fosa f181 Marca arado	Interficie de marca de arado.	Corta a UE152	—
519	Fosa f181 Marca arado	Depósito de colmatación. Material arqueológico descontextualizado.	Rellena interficie 519.1	Techo: 242.82 Techo: 242.66

UE	ESTRUCTURA	DESCRIPCIÓN	Relaciones ESTRATIGRÁFICAS	COTA (Z) m.s.n.m.
521.1	Fosa f182 Marca arado	Interficie de marca de arado.	Corta a UE152	—
521	Fosa f182 Marca arado	Depósito de colmatación. Material arqueológico descontextualizado.	Rellena interficie 521.1	Techo: 242.72 Muro: 242.61
523.1	Fosa f183 Marca arado	Interficie de marca de arado.	Corta a UE152	—
523	Fosa f183 Marca arado	Depósito de colmatación. Material arqueológico descontextualizado.	Rellena interficie 523.1	Techo: 242.8 Muro: 242.65
525.1	Fosa f184 Marca arado	Interficie de marca de arado.	Corta a UE152	—
525	Fosa 184 Marca arado	Depósito de colmatación. Material arqueológico descontextualizado.	Rellena interficie 525.1	Techo: 242.85 Muro: 242.73